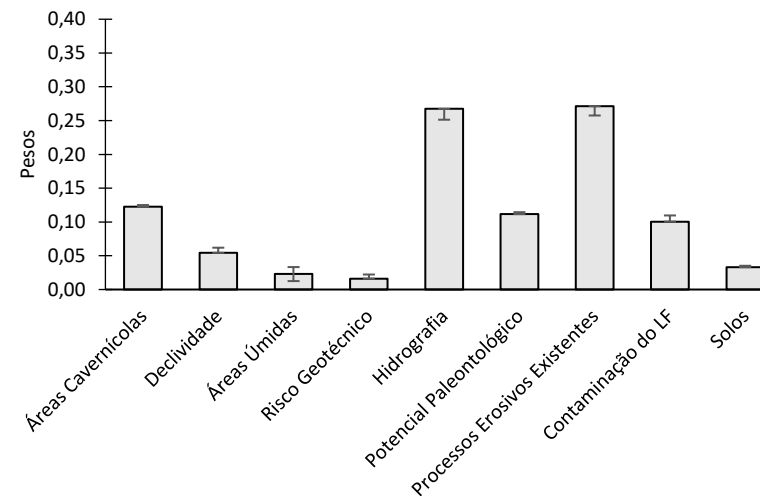
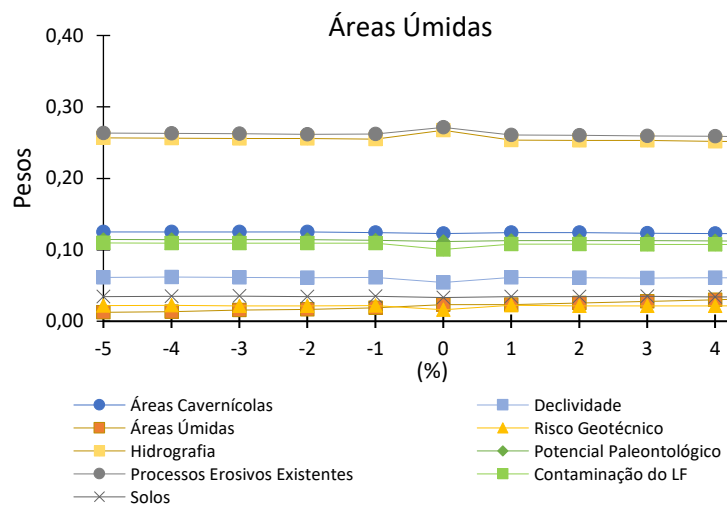




## Apêndice 36. Análise de Sensibilidade do meio físico.

## Análise de Sensibilidade para o layer Áreas Úmidas

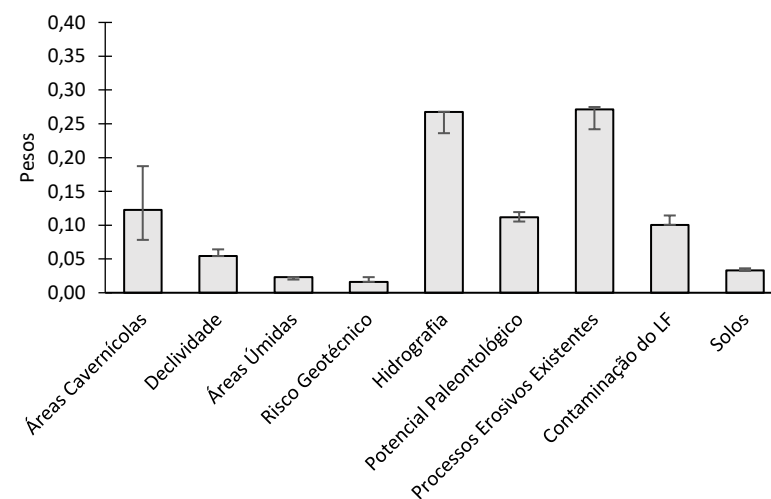
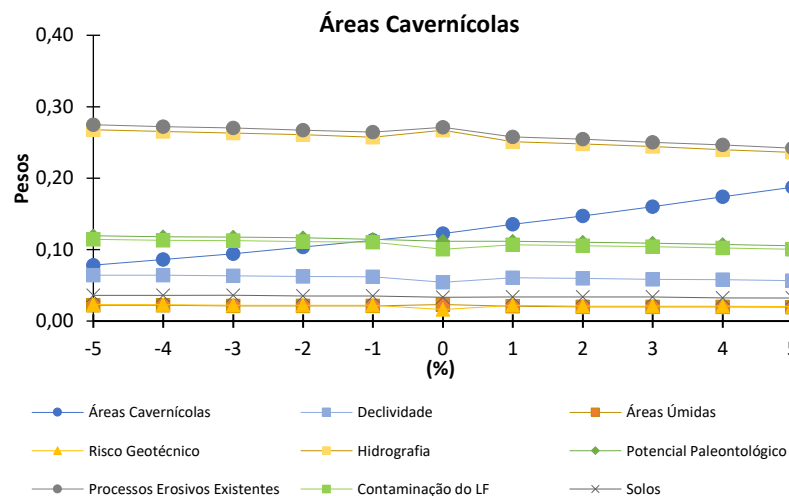
% Change,	Áreas Cavernícolas	Declividade	Áreas Úmidas	Risco Geotécnico	Hidrografia	Potencial Paleontológico	Processos Erosivos Existentes	Contaminação do LF	Solos
-5	0,125	0,061538	0,0125	0,022115	0,256731	0,114423	0,263462	0,109615	0,034615
-4	0,124758	0,061896	0,01354	0,022244	0,256286	0,11412	0,263056	0,109284	0,034816
-3	0,124878	0,061463	0,01561	0,021463	0,25561	0,114146	0,262439	0,109268	0,035122
-2	0,125	0,061024	0,016732	0,021654	0,255906	0,114173	0,261811	0,109252	0,034449
-1	0,124008	0,061508	0,018849	0,021825	0,25496	0,113095	0,261905	0,109127	0,034722
1	0,123867	0,06143	0,023162	0,022155	0,253776	0,11279	0,260826	0,107754	0,03424
2	0,123984	0,060976	0,025407	0,021341	0,253049	0,112805	0,260163	0,107724	0,034553
3	0,122951	0,060451	0,027664	0,021516	0,253074	0,112705	0,259221	0,107582	0,034836
4	0,122807	0,060888	0,029928	0,021672	0,251806	0,112487	0,25903	0,107327	0,034056
5	0,122534	0,060228	0,033229	0,021807	0,251298	0,11215	0,257529	0,106957	0,034268
Máx	0,125	0,061896	0,033229	0,022244	0,267337	0,114423	0,271357	0,109615	0,035122
Mín	0,122534	0,054271	0,0125	0,01608	0,251298	0,111558	0,257529	0,100503	0,033166





### Análise de Sensibilidade para o layer Áreas Cavernícolas

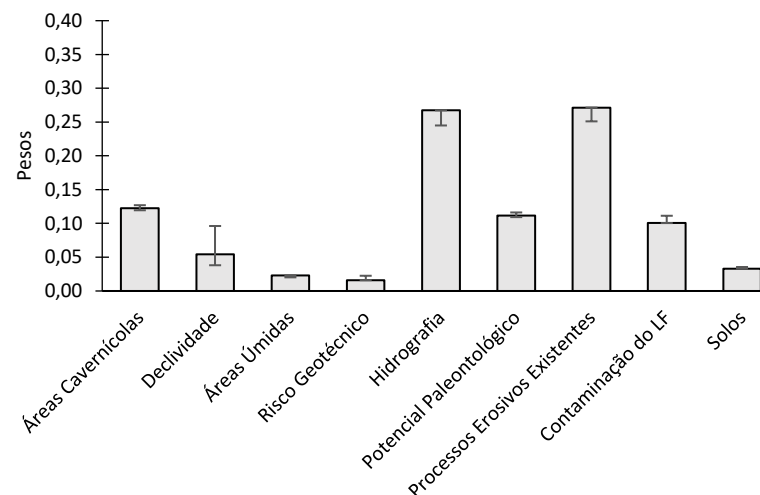
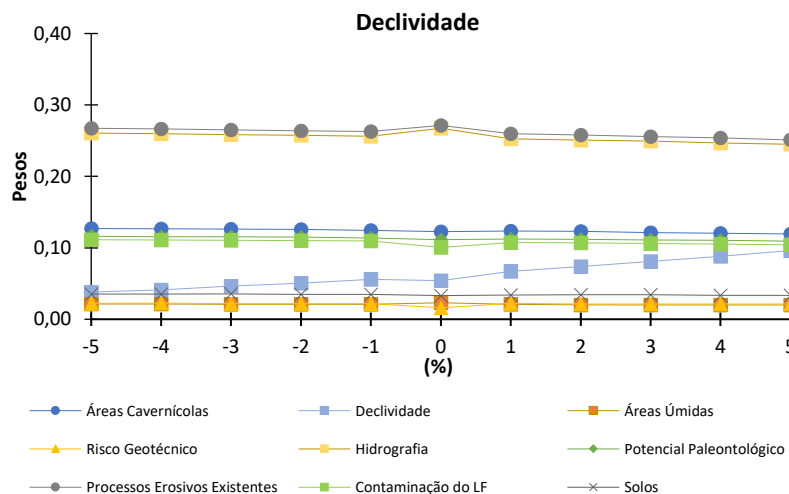
% Change,	Áreas Cavernícolas	Declividade	Áreas Úmidas	Risco Geotécnico	Hidrografia	Potencial Paleontológico	Processos Erosivos Existentes	Contaminação do LF	Solos
-5	0,078235	0,064193	0,022066	0,023069	0,267803	0,119358	0,274824473	0,114343	0,036108
-4	0,086086	0,064064	0,022022	0,023023	0,265265	0,118118	0,272272272	0,113113	0,036036
-3	0,094378	0,063253	0,021084	0,022088	0,263052	0,11747	0,270080321	0,11245	0,036145
-2	0,103414	0,062249	0,021084	0,022088	0,261044	0,116466	0,267068273	0,111446	0,035141
-1	0,113226	0,062124	0,021042	0,022044	0,257515	0,114228	0,264529058	0,11022	0,03507
1	0,135458	0,060757	0,020916	0,021912	0,250996	0,111554	0,257968127	0,106574	0,033865
2	0,147264	0,059701	0,0199	0,020896	0,247761	0,110448	0,254726368	0,105473	0,033831
3	0,160237	0,058358	0,019782	0,020772	0,244313	0,108803	0,25024728	0,103858	0,03363
4	0,17387	0,057957	0,019646	0,020629	0,239686	0,107073	0,246561886	0,102161	0,032417
5	0,187317	0,056585	0,019512	0,020488	0,236098	0,105366	0,24195122	0,100488	0,032195
Máx	0,187317	0,064193	0,023116	0,023069	0,267803	0,119358	0,274824473	0,114343	0,036145
Mín	0,078235	0,054271	0,019512	0,01608	0,236098	0,105366	0,24195122	0,100488	0,032195





### Análise de Sensibilidade para o layer Declividade

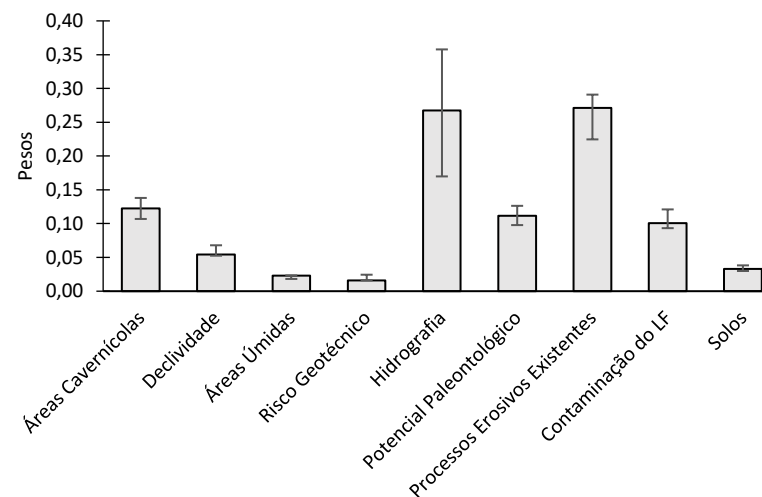
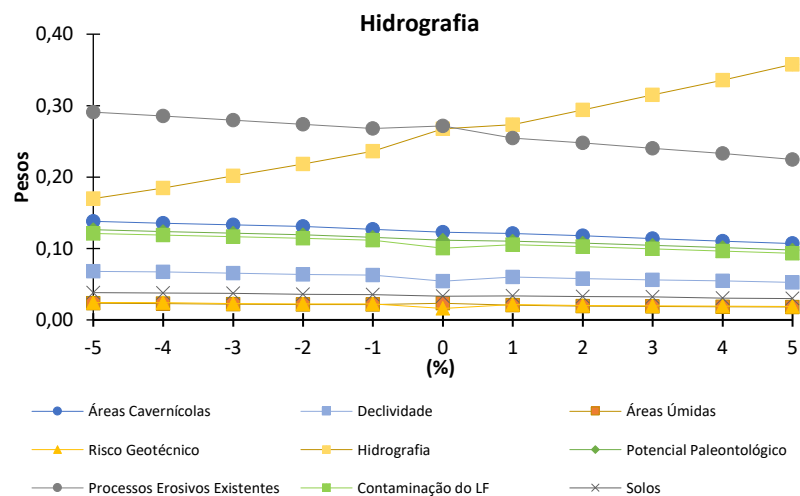
% Change,	Áreas Cavernícolas	Declividade	Áreas Úmidas	Risco Geotécnico	Hidrografia	Potencial Paleontológico	Processos Erosivos Existentes	Contaminação do LF	Solos
-5	0,126953	0,038086	0,021484	0,022461	0,260742	0,116211	0,267578	0,111328	0,035156
-4	0,126471	0,041176	0,021569	0,022549	0,259804	0,115686	0,266667	0,110784	0,035294
-3	0,126233	0,046351	0,02071	0,021696	0,258383	0,115385	0,265286	0,110454	0,035503
-2	0,125867	0,050545	0,020813	0,021804	0,257681	0,114965	0,263627	0,11001	0,034688
-1	0,124502	0,055777	0,020916	0,021912	0,255976	0,113546	0,262948	0,109562	0,034861
1	0,12337	0,067202	0,021063	0,022066	0,252758	0,112337	0,259779	0,107322	0,034102
2	0,122984	0,073589	0,020161	0,021169	0,251008	0,111895	0,258065	0,106855	0,034274
3	0,121212	0,080808	0,020202	0,021212	0,249495	0,111111	0,255556	0,106061	0,034343
4	0,120445	0,088057	0,020243	0,021255	0,246964	0,110324	0,254049	0,105263	0,033401
5	0,119433	0,096154	0,020243	0,021255	0,244939	0,109312	0,251012	0,104251	0,033401
Máx	0,1270	0,0962	0,0231	0,0225	0,2673	0,1162	0,2714	0,1113	0,0355
Mín	0,1194	0,0381	0,0202	0,0161	0,2449	0,1093	0,2510	0,1005	0,0332





### Análise de Sensibilidade para o layer Hidrografia

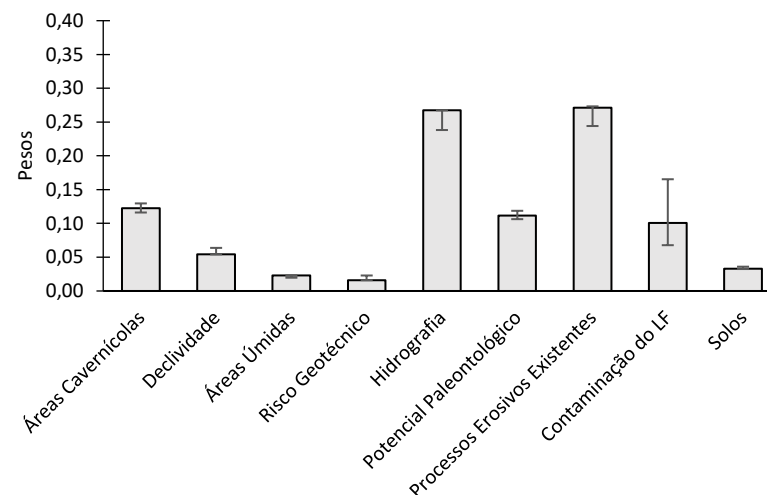
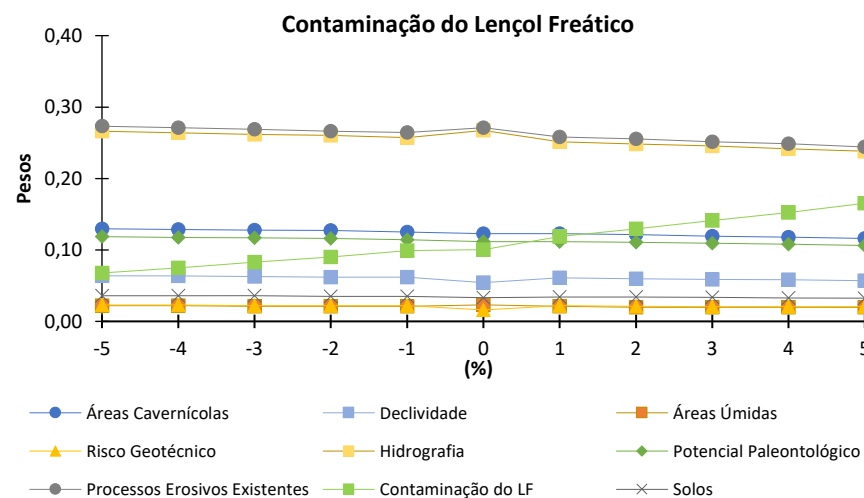
% Change,	Áreas Cavernícolas	Declividade	Áreas Úmidas	Risco Geotécnico	Hidrografia	Potencial Paleontológico	Processos Erosivos Existentes	Contaminação do LF	Solos
-5	0,138004	0,067941	0,023355	0,024416	0,169851	0,126327	0,29087	0,121019	0,038217
-4	0,135362	0,067156	0,023085	0,024134	0,18468	0,12382	0,285414	0,118573	0,037775
-3	0,133056	0,065489	0,02183	0,022869	0,201663	0,121622	0,279626	0,116424	0,037422
-2	0,130658	0,063786	0,021605	0,022634	0,218107	0,119342	0,273663	0,114198	0,036008
-1	0,126775	0,06288	0,021298	0,022312	0,236308	0,115619	0,267748	0,111562	0,035497
1	0,120944	0,05998	0,020649	0,021632	0,273353	0,110128	0,254671	0,105211	0,033432
2	0,117988	0,058027	0,019342	0,020309	0,294004	0,10735	0,247582	0,102515	0,032882
3	0,113852	0,055977	0,018975	0,019924	0,314991	0,104364	0,240038	0,09962	0,032258
4	0,11039	0,054731	0,018553	0,019481	0,335807	0,101113	0,232839	0,096475	0,030612
5	0,106884	0,052536	0,018116	0,019022	0,35779	0,097826	0,224638	0,093297	0,029891
Máx	0,1380	0,0679	0,0234	0,0244	0,3578	0,1263	0,2909	0,1210	0,0382
Mín	0,1069	0,0525	0,0181	0,0161	0,1699	0,0978	0,2246	0,0933	0,0299





### Análise de Sensibilidade para o layer Contaminação do Lençol Freático

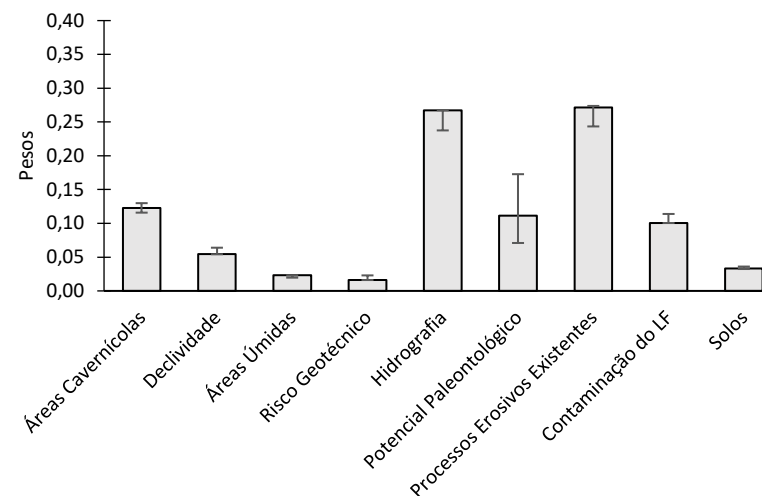
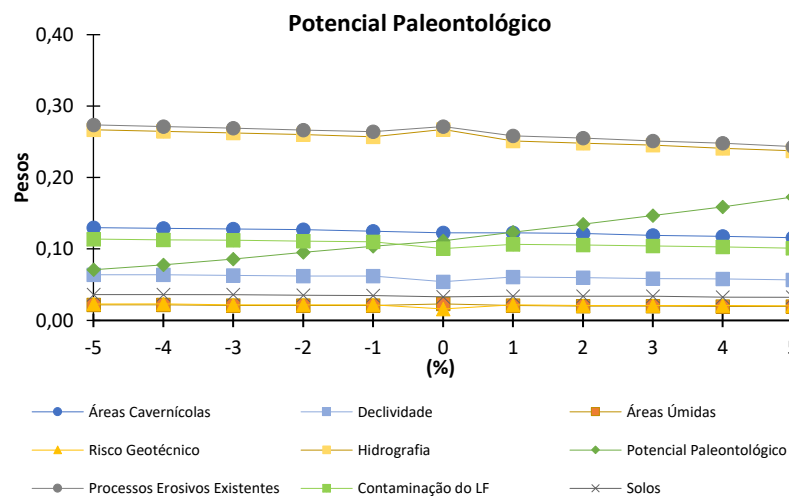
% Change,	Áreas Cavernícolas	Declividade	Áreas Úmidas	Risco Geotécnico	Hidrografia	Potencial Paleontológico	Processos Erosivos Existentes	Contaminação do LF	Solos
-5	0,129611	0,063809	0,021934	0,022931	0,266201	0,118644	0,27318	0,067797	0,035892
-4	0,128486	0,063745	0,021912	0,022908	0,263944	0,11753	0,270916	0,074701	0,035857
-3	0,127872	0,062937	0,020979	0,021978	0,261738	0,116883	0,268731	0,082917	0,035964
-2	0,127127	0,062062	0,021021	0,022022	0,26026	0,116116	0,266266	0,09009	0,035035
-1	0,125125	0,062062	0,021021	0,022022	0,257257	0,114114	0,264264	0,099099	0,035035
1	0,122632	0,060818	0,020937	0,021934	0,251246	0,111665	0,258225	0,118644	0,033898
2	0,121635	0,059821	0,01994	0,020937	0,248255	0,110668	0,255234	0,129611	0,033898
3	0,119284	0,058648	0,019881	0,020875	0,245527	0,109344	0,251491	0,141153	0,033797
4	0,117822	0,058416	0,019802	0,020792	0,241584	0,107921	0,248515	0,152475	0,032673
5	0,116142	0,057087	0,019685	0,020669	0,238189	0,106299	0,244094	0,165354	0,03248
Máx	0,129611	0,063809	0,023116	0,022931	0,267337	0,118644	0,27318	0,165354	0,035964
Mín	0,116142	0,054271	0,019685	0,01608	0,238189	0,106299	0,244094	0,067797	0,03248





### Análise de Sensibilidade para o layer Potencial Paleontológico

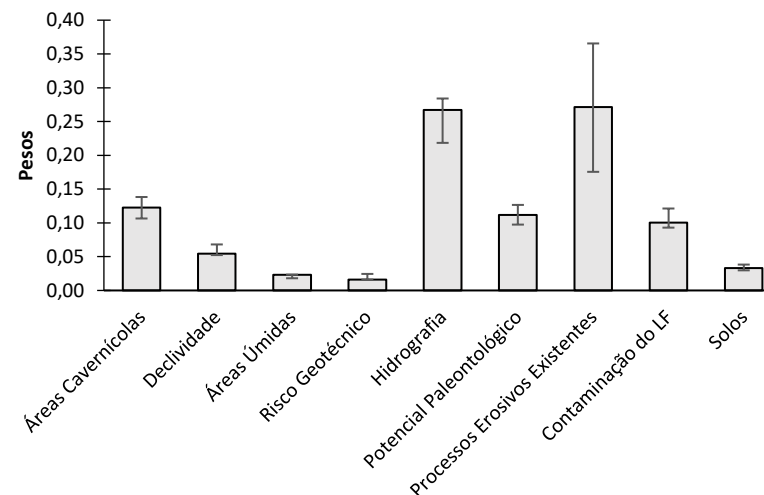
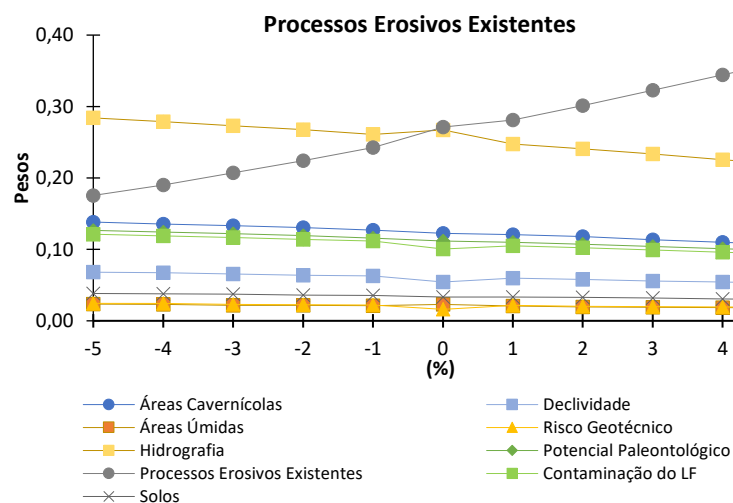
% Change,	Áreas Cavernícolas	Declividade	Áreas Úmidas	Risco Geotécnico	Hidrografia	Potencial Paleontológico	Processos Erosivos Existentes	Contaminação do LF	Solos
-5	0,12987	0,063936	0,021978	0,022977	0,266733	0,070929	0,273726	0,113886	0,035964
-4	0,128743	0,063872	0,021956	0,022954	0,264471	0,077844	0,271457	0,112774	0,035928
-3	0,128128	0,063063	0,021021	0,022022	0,262262	0,086086	0,269269	0,112112	0,036036
-2	0,127127	0,062062	0,021021	0,022022	0,26026	0,095095	0,266266	0,111111	0,035035
-1	0,125	0,062	0,021	0,022	0,257	0,104	0,264	0,11	0,035
0	0,122613	0,054271	0,023116	0,01608	0,267337	0,111558	0,271357	0,100503	0,033166
1	0,122632	0,060818	0,020937	0,021934	0,251246	0,123629	0,258225	0,10668	0,033898
2	0,121635	0,059821	0,01994	0,020937	0,248255	0,134596	0,255234	0,105683	0,033898
3	0,119166	0,05859	0,019861	0,020854	0,245283	0,146971	0,251241	0,10427	0,033764
4	0,117589	0,0583	0,019763	0,020751	0,241107	0,159091	0,248024	0,102767	0,032609
5	0,1158	0,056919	0,019627	0,020608	0,237488	0,172718	0,243376	0,101079	0,032385
Máx	0,12987	0,063936	0,023116	0,022977	0,267337	0,172718	0,273726	0,113886	0,036036
Mín	0,1158	0,054271	0,019627	0,01608	0,237488	0,070929	0,243376	0,100503	0,032385





### Análise de Sensibilidade para o layer Processos Erosivos Existentes

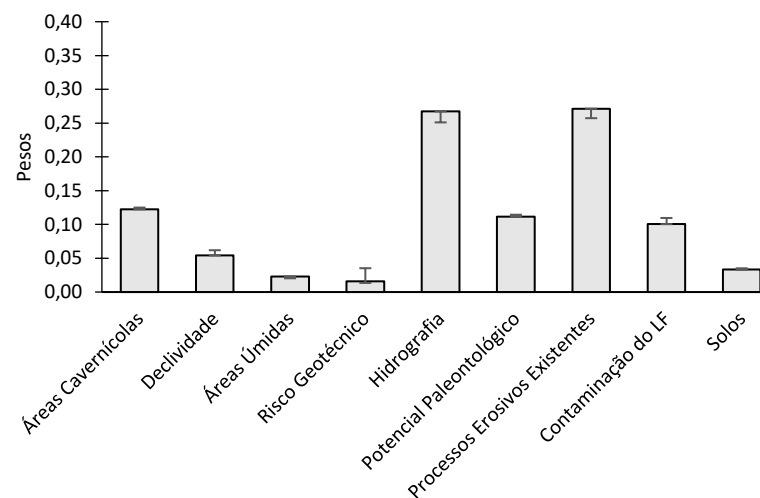
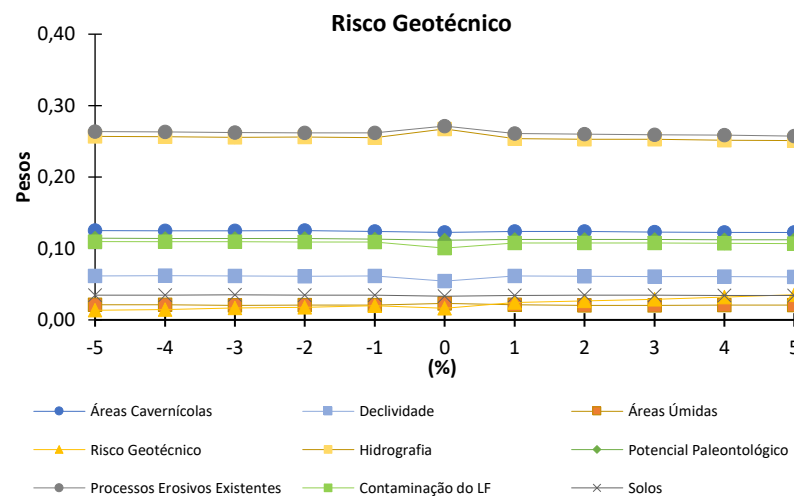
% Change,	Áreas Cavernícolas	Declividade	Áreas Úmidas	Risco Geotécnico	Hidrografia	Potencial Paleontológico	Processos Erosivos Existentes	Contaminação do LF	Solos
-5	0,138298	0,068085	0,023404	0,024468	0,284043	0,126596	0,175532	0,121277	0,038298
-4	0,135647	0,067298	0,023134	0,024185	0,278654	0,12408	0,190326	0,118822	0,037855
-3	0,133333	0,065625	0,021875	0,022917	0,272917	0,121875	0,207292	0,116667	0,0375
-2	0,130658	0,063786	0,021605	0,022634	0,26749	0,119342	0,22428	0,114198	0,036008
-1	0,126904	0,062944	0,02132	0,022335	0,260914	0,115736	0,24264	0,111675	0,035533
1	0,120825	0,059921	0,020629	0,021611	0,247544	0,11002	0,280943	0,105108	0,033399
2	0,117874	0,057971	0,019324	0,02029	0,24058	0,107246	0,301449	0,102415	0,03285
3	0,113529	0,055818	0,018921	0,019868	0,23368	0,104068	0,322611	0,099338	0,032167
4	0,110083	0,054579	0,018501	0,019426	0,225717	0,100833	0,344126	0,096207	0,030527
5	0,106498	0,052347	0,018051	0,018953	0,218412	0,097473	0,365523	0,09296	0,029783
Máx	0,138298	0,068085	0,023404	0,024468	0,284043	0,126596	0,365523	0,121277	0,038298
Mín	0,106498	0,052347	0,018051	0,01608	0,218412	0,097473	0,175532	0,09296	0,029783





### Análise de Sensibilidade para o layer Risco Geotécnico

% Change,	Áreas Cavernícolas	Declividade	Áreas Úmidas	Risco Geotécnico	Hidrografia	Potencial Paleontológico	Processos Erosivos Existentes	Contaminação do LF	Solos
-5	0,125	0,061538	0,021154	0,013462	0,256731	0,114423	0,263462	0,109615	0,034615
-4	0,124758	0,061896	0,021277	0,014507	0,256286	0,11412	0,263056	0,109284	0,034816
-3	0,124878	0,061463	0,020488	0,016585	0,25561	0,114146	0,262439	0,109268	0,035122
-2	0,125	0,061024	0,020669	0,017717	0,255906	0,114173	0,261811	0,109252	0,034449
-1	0,124008	0,061508	0,020833	0,019841	0,25496	0,113095	0,261905	0,109127	0,034722
0	0,122613	0,054271	0,023116	0,01608	0,267337	0,111558	0,271357	0,100503	0,033166
1	0,123867	0,06143	0,021148	0,024169	0,253776	0,11279	0,260826	0,107754	0,03424
2	0,123984	0,060976	0,020325	0,026423	0,253049	0,112805	0,260163	0,107724	0,034553
3	0,122951	0,060451	0,020492	0,028689	0,253074	0,112705	0,259221	0,107582	0,034836
4	0,12268	0,060825	0,020619	0,031959	0,251546	0,112371	0,258763	0,107216	0,034021
5	0,122407	0,060166	0,020747	0,03527	0,251037	0,112033	0,257261	0,106846	0,034232
Máx	0,125	0,061896	0,023116	0,03527	0,267337	0,114423	0,271357	0,109615	0,035122
Mín	0,122407	0,054271	0,020325	0,013462	0,251037	0,111558	0,257261	0,100503	0,033166







### Análise de Sensibilidade para o layer Solos

% Change,	Áreas Cavernícolas	Declividade	Áreas Úmidas	Risco Geotécnico	Hidrografia	Potencial Paleontológico	Processos Erosivos Existentes	Contaminação do LF	Solos
-5	0,125604	0,061836	0,021256	0,022222	0,257971	0,114976	0,264734	0,110145	0,021256
-4	0,125243	0,062136	0,021359	0,022233	0,257282	0,114563	0,264078	0,109709	0,023301
-3	0,12549	0,061765	0,020588	0,021569	0,256863	0,114706	0,263725	0,109804	0,02549
-2	0,125247	0,061144	0,02071	0,021696	0,25641	0,114398	0,262327	0,109467	0,0286
-1	0,124131	0,061569	0,020854	0,021847	0,255214	0,113208	0,262165	0,109235	0,031778
0	0,122613	0,054271	0,023116	0,01608	0,267337	0,111558	0,271357	0,100503	0,033166
1	0,123618	0,061307	0,021106	0,022111	0,253266	0,112563	0,260302	0,107538	0,038191
2	0,123732	0,060852	0,020284	0,021298	0,252535	0,112576	0,259635	0,107505	0,041582
3	0,122449	0,060204	0,020408	0,021429	0,252041	0,112245	0,258163	0,107143	0,045918
4	0,121926	0,060451	0,020492	0,021516	0,25	0,11168	0,257172	0,106557	0,050205
5	0,121399	0,059671	0,020576	0,021605	0,248971	0,111111	0,255144	0,105967	0,055556
Máx	0,125604	0,062136	0,023116	0,02233	0,267337	0,114976	0,271357	0,110145	0,055556
Mín	0,121399	0,054271	0,020284	0,01608	0,248971	0,111111	0,255144	0,100503	0,021256

